

# ОБТЕКАНИЕ МАКРОСКОПИЧЕСКИХ ТЕЛ РАСТВОРОМ КОЛЛОИДНЫХ ЧАСТИЦ И «КРИЗИС» СОПРОТИВЛЕНИЯ

С. В. Иорданский\*

Институт теоретической физики им. Л. Д. Ландау Российской академии наук  
142432, Черноголовка, Московская обл., Россия

Поступила в редакцию 21 мая 2013 г.

Рассмотрено движение коллоидных частиц в поле течения вязкой жидкости. Малые размеры коллоидных частиц по сравнению с характерным масштабом течения позволяют вычислить их скорость относительно жидкости. Если плотность коллоидной частицы больше плотности жидкости, то течение разбивается на области, где скорость коллоида совпадает со скоростью жидкости, и области торможения течения, где скорость коллоида больше скорости жидкости. Этот эффект используется для качественного объяснения снижения сопротивления при обтекании макроскопических тел и течений в трубах.

DOI: 10.7868/S0044451013110217

## 1. ВВЕДЕНИЕ

Более 60 лет тому назад [1] было обнаружено, что небольшая концентрация полимеров может существенно снизить сопротивление при протекании жидкостей в трубах. Это обстоятельство реально используется при прокачке нефти. Имеется большое количество публикаций, теоретических и экспериментальных, посвященных этому явлению. Однако в настоящее время нет единой точки зрения, объясняющей на качественном уровне физическую причину этого эффекта. Довольно подробная работа [2] оставляет в стороне происхождение движения полимеров относительно жидкости и в то же время использует весьма сложное описание связи деформаций полимера с напряжениями. Недавняя работа [3] показывает плохое согласие теоретических работ с экспериментом. Большое количество теоретических работ посвящено вязко-упругим свойствам концентрированных растворов полимеров (см., например, обзор [4] или книгу [5]). Мы не будем касаться этого вопроса, так как по нашему мнению основная проблема связана с взаимодействием отдельного полимера с полем течения, и рассмотрим более простую задачу о влиянии слабого раствора коллоидных частиц на сопротивление тел, движущихся в таком растворе. Более тонкие эффекты, связанные с деформациями

полимеров, могут существенно влиять на величину эффекта.

В настоящей работе мы сначала рассмотрим более изученную задачу о течениях вязкой ньютоновской жидкости и ее модификацию, связанную со слабыми растворами сравнительно больших слабodeформируемых сферических коллоидных молекул. Описание больших полимерных молекул, состоящих из нескольких тысяч сочлененных звеньев, хорошо разработано (изложение можно найти в книгах [6, 7]). Равновесное состояние представляет собой клубок из полимерной нити, имеющий в среднем сферическую форму радиуса  $l = \sqrt{(1/6)Na^2}$ , где  $N$  — число звеньев длины  $a$ . Молекулярный вес такого клубка много больше молекулярного веса растворителя. Поэтому эффектами броуновского движения для коллоидных молекул можно пренебречь если их молекулярный вес совпадает с весом полимера, поскольку тепловые скорости будут много меньше интересующих нас скоростей течения.

Наибольший масштаб движения задается размером  $L$  обтекаемого макроскопического тела, который много больше среднего расстояния  $c^{-1/3}$  между коллоидами, где  $c$  — малая объемная концентрация коллоидов. Это расстояние, в свою очередь, много больше радиуса коллоида,

$$L \gg c^{-1/3} \gg l. \quad (1)$$

\*E-mail: iordansk@itp.ac.ru

## 2. ДВИЖЕНИЕ КОЛЛОИДОВ ОТНОСИТЕЛЬНО ЖИДКОСТИ

При малой концентрации коллоидов можно использовать линейное по концентрации приближение (см., например, [8]). Рассмотрим один коллоид в поле течения. На больших (по сравнению с размерами  $l$  коллоида) расстояниях течение можно считать однородным. Уравнения движения имеют вид обычных уравнений для вязкой несжимаемой жидкости. Будем считать несжимаемым и коллоид. На его сферической границе задано равенство скорости жидкости  $v_i^l$  и скорости коллоида  $w_i^p$ , а также непрерывность потока импульса. Макроскопическое движение жидкости, задаваемое масштабом  $L$ , для коллоида выглядит как некоторая внешняя сила, и мы можем воспользоваться известным результатом [9] для вычисления силы, действующей на погруженное в жидкость тело (коллоид). Если бы тело полностью увлеклось жидкостью, то эта сила была бы равна  $\rho^l V_0 dv_i^l/dt$ , где  $\rho^l$  — плотность жидкости,  $V_0 = (4\pi/3)l^3$  — объем полимера. Однако оно не увлекается полностью, и необходимо учесть относительное движение  $-m_{ik}d(w_i^p - v_i^l)/dt$ , где  $m_{ik}$  — тензор присоединенных масс. Кроме того, движение коллоида относительно жидкости приводит к стоковому силе трения  $-6\pi\eta l(w_i^p - v_i^l)$ , где  $\eta$  — коэффициент динамической вязкости. Суммируя, получим силу, действующую на коллоид:

$$\rho^p V_0 \frac{dw_i^p}{dt} = \rho^l V_0 \frac{dv_i^l}{dt} - m_{ik} \frac{d(w_k^p - v_k^l)}{dt} - 6\pi\eta l(w_i^p - v_i^l). \quad (2)$$

Стоксова сила пропорциональна первой степени  $l$ , поэтому при малых размерах коллоида члены, содержащие ускорения, малы и нулевое приближение для скорости полимера имеет вид  $w_i^p = v_i^l$ , где  $v_i^l$  — локальная скорость жидкости на расстоянии порядка  $l$  от коллоида. Следующее приближение получается подстановкой нулевого приближения в уравнение (2):

$$w_{i1} = -(\rho^p - \rho^l) \frac{2l^2}{9\eta} \frac{dv_i^l}{dt} \approx w_i^p - v_i^l. \quad (3)$$

Мы ограничимся этим приближением для относительной скорости коллоида. Это локальное «микроскопическое» движение коллоида относительно жидкости будет давать вклад в усредненные величины на расстояниях порядка  $c^{-1/3}$ . Наоборот, если им пренебречь, то коллоиды не могут дать никакого вклада в усредненные уравнения движения. Ис-

пользование формулы Стокса предполагает, что время  $l^2 \rho^l / \eta$  «вязкой» релаксации много меньше «гидродинамического» времени  $L/U$  (где  $U$  — скорость обтекаемого тела относительно жидкости), так что коллоид успевает подстроиться под течение жидкости.

В стоковом приближении на единицу площади сферического полимера действует одна и та же сила [9]  $F_i = -3\eta/l(w_i^p - v_i^l)$ , поэтому в этом приближении деформации отсутствуют. Для определения сил, вызывающих деформации, необходимо рассматривать озееновские поправки, связанные с инерционными членами.

Процедура учета поправок по числу Рейнольдса

$$\text{Re} = \frac{|\mathbf{w}^p - \mathbf{v}^l| l \rho^l}{\eta}$$

при обтекании сферы, впервые проведенная в работах [10, 11], изложена в [9]. Необходимо исследовать полное уравнение движения жидкости

$$\rho^l (\mathbf{u}\nabla)\mathbf{v}^l = -\nabla p + \eta \Delta \mathbf{v}^l, \quad (4)$$

где  $\mathbf{u}$  — относительная скорость, которую можно взять равной постоянному значению вдали от коллоида. Во внешнем течении вокруг шара имеются две зоны: ближняя ( $r \ll l/\text{Re}$ ) и дальняя ( $r \gg l$ ), которые перекрываются при  $l/\text{Re} \gg r \gg l$ . В ближней зоне исходным является стоково приближение, а в дальней зоне — приближение Озеена — постоянная скорость  $u$ . Сшивка соответствующих решений в области перекрытия дает поправки к стоковому решению, имеющие вид

$$v_r^{(2)} = \frac{3\text{Re}}{8} v_r^{(1)} + \frac{3\text{Re}}{32} \left(1 - \frac{1}{r'}\right)^2 \times \\ \times \left(2 + \frac{1}{r'} + \frac{1}{r'^2}\right) (1 - 3\cos^2 \vartheta), \quad (5)$$

$$v_\vartheta^{(2)} = \frac{3\text{Re}}{8} + \frac{3\text{Re}}{32} \left(1 - \frac{1}{r'}\right) \left(4 + \frac{1}{r'} + \frac{1}{r'^2} + \frac{2}{r'^2}\right) \times \\ \times \sin \vartheta \cos \vartheta, \quad (6)$$

где используются сферические координаты с полярной осью вдоль направления относительной скорости и введены безразмерные величины  $r'$  в единицах радиуса  $l$  шара и скорости в единицах относительной скорости  $u$ . Через  $v_i^{(1)}$  обозначено стоково решение, не приводящее к деформации клубка.

Вычисления в ближней зоне сильно упрощаются и дают на поверхности шара давление

$$p^{(2)} = - (1 - 3\cos^2 \vartheta) \frac{3\eta \text{Re}}{8l} |\mathbf{v}^l - \mathbf{w}^p| \quad (7)$$

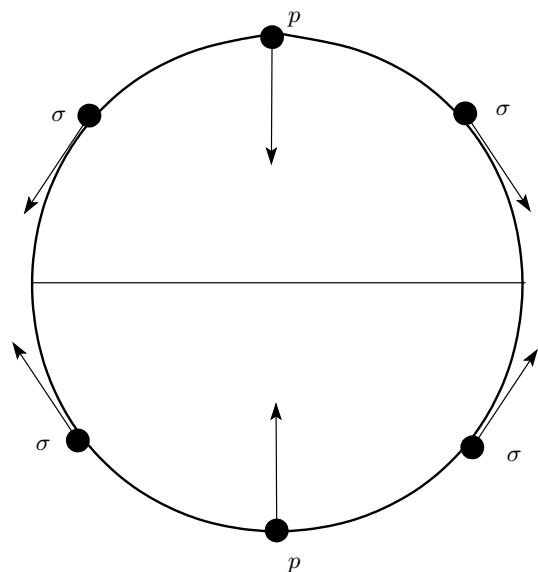


Рис. 1. Вертикальное направление по относительной скорости

и касательное напряжение

$$\sigma_{r\vartheta} = \eta \left. \frac{\partial v_\vartheta}{\partial r} \right|_{r=1} = \frac{3\eta \text{Re}}{4l} |\mathbf{u}^l - \mathbf{w}^p| \sin \vartheta \cos \vartheta. \quad (8)$$

На рис. 1 изображено сечение коллоида и показаны точки на поверхности сферы, где имеются максимальные напряжения с указанием их направления. Мы видим, что имеется сжатие по направлению относительной скорости и растяжение вдоль меридианов, обращаясь в нуль на полюсах и экваторе. Эти напряжения вызывают деформацию коллоида. Для ее расчета необходимо знать связь деформаций с напряжениями внутри коллоида. Имеется общий принцип, впервые высказанный Максвеллом (см., например, работу [5]), что быстрые (кратковременные) напряжения соответствуют модели теории упругости, а медленные (длительные) напряжения — модели вязкой жидкости. В случае движения раствора при больших числах Рейнольдса коллоиды имеют скорость, близкую к скорости растворителя, что приводит к кратковременному воздействию течения на отдельный коллоид в области большого ускорения. Поэтому можно использовать модель теории упругости. В результате коллоид должен сплющиваться в направлении движения и растягиваться в перпендикулярном направлении. Таким образом, поперечное сечение коллоида возрастает, и он движется в направлении с наибольшим сопротивлением, поэтому возможно возникновение неустойчивости движения типа кувыркания. Этот вопрос, одна-

ко, не имеет прямого отношения к падению сопротивления при обтекании макроскопического тела.

### 3. ОБТЕКАНИЕ МАКРОСКОПИЧЕСКОГО ТЕЛА

Усредненные гидродинамические уравнения для несжимаемой жидкости и раствора слабodeформируемых коллоидов в линейном по их концентрации приближении имеют вид законов сохранения:

$$\text{div } \mathbf{v}^l = 0 \quad (9)$$

и

$$\frac{\partial c}{\partial t} + \text{div } c\mathbf{w}^p = 0 \quad (10)$$

для числа коллоидов. Скорость коллоидов близка к скорости жидкости,  $\mathbf{w}^p \approx \mathbf{v}^l$ . В этом случае из двух последних уравнений следует, что  $c = \text{const}$  является решением. Остается закон сохранения полного импульса системы жидкости и коллоидов:

$$\begin{aligned} \frac{\partial}{\partial t} [\langle \rho \rangle v_i^l + cm(w_i^p - v_i^l)] &= \\ &= - \frac{\partial}{\partial x_k} [\Pi_{ik} - cm(w_i^p - v_i^l)v_k^l], \end{aligned} \quad (11)$$

где

$$\langle \rho \rangle = \rho^l + cm, \quad m = \frac{4\pi}{3} l^3 \rho^p,$$

$$\Pi_{ik} = \langle \rho \rangle v_i^l v_k^l + p\delta_{ik} - \eta \frac{\partial v_i^l}{\partial x_k}.$$

Стоксово трение не входит в эти уравнения, так как полный импульс жидкости и коллоидов должен сохраняться.

Рассмотрим сначала случай отсутствия коллоидов. Общая картина течения вязкой жидкости вокруг неподвижного макроскопического тела хорошо изучена. При больших числах Рейнольдса  $UL/\nu$  (где  $\nu = \eta/\rho^l$  — кинематическая вязкость жидкости) имеется [9] дальняя зона на расстояниях, больших по сравнению с толщиной пограничного слоя от обтекаемого тела, где скорость жидкости можно считать безвихревой. На ее условной границе нормальная к поверхности тела скорость обращается в нуль. В ближней зоне порядка толщины пограничного слоя происходит обращение в нуль касательной к телу составляющей скорости. Пограничный слой начинается с передней критической точки, где скорость потенциального обтекания обращается в нуль, а толщина пограничного слоя имеет конечную величину. При движении в направлении течения касательная скорость и толщина пограничного

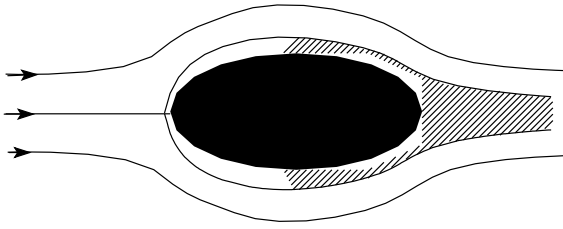


Рис. 2. Заштрихована область «застойной» зоны после «отрыва»

слоя медленно возрастают. Так происходит до тех пор, пока касательная скорость не достигнет максимума. Затем касательная скорость уменьшается, а ламинарный пограничный слой обязательно теряет устойчивость. Происходит резкое увеличение условной ширины пограничного слоя и одновременно резкое уменьшение касательной скорости, что интерпретируется как «отрыв» пограничного слоя от границы обтекаемого тела и образование турбулентной «застойной» зоны, примыкающей ко второй критической точке вниз по течению, как показано на рис. 2.

При наличии в обтекающей жидкости раствора коллоидов большая часть (ламинарная) пограничного слоя характеризуется небольшими ускорениями вдоль тела, что приводит к скорости коллоидов, близкой к скорости жидкости, и они фактически не влияют на среднее течение. Однако вблизи точки «отрыва» при больших числах Рейнольдса возникают большие ускорения (торможение), что приводит к потоку коллоидов вниз по течению, если плотность коллоидов больше плотности жидкости, согласно формуле (3).

Сила сопротивления при больших числах Рейнольдса в отсутствие коллоидов имеет вид [9]

$$F = C(\text{Re}) \frac{U^2 \rho^l S}{2},$$

где  $S$  — поперечное сечение обтекаемого тела,  $C$  — постоянная, зависящая только от числа Рейнольдса. Экспериментально известно, что при больших числах Рейнольдса происходит существенное изменение функционального вида постоянной  $C(\text{Re})$ , приводящее к резкому уменьшению силы сопротивления («кризис» сопротивления) при сравнительно малом увеличении числа Рейнольдса. Это обстоятельство интерпретируется как сдвиг точки «отрыва» вниз по течению и уменьшение эффективного поперечного сечения обтекаемого тела.

Согласно уравнению (11), влияние коллоидов вблизи точки «отрыва» аналогично увеличению чис-

ла Рейнольдса, так как эффективный поток импульса возрастает:

$$\Pi_{ik}^{(ef)} = \langle \rho \rangle v_i^l v_k^l + p \delta_{ik} - \eta \left( \frac{\partial v_i^l}{\partial x_k} + \frac{\partial v_k^l}{\partial x_i} \right) + cmv_k^l \frac{2l^2}{9\eta} \frac{dv_i^l}{dt} (\rho^p - \rho^l). \quad (12)$$

Запишем дополнительный член в  $\Pi_{ik}^{(ef)}$ , связанный с коллоидами, в виде  $\delta \Pi_{ik} = \rho^l v_k^l \delta v_i^l$ , где

$$\delta v_i^l = cV_0 \left( \frac{\rho^p}{\rho^l} \right)^2 \left( 1 - \frac{\rho^l}{\rho^p} \right) \frac{2l^2}{9\nu} v_n^l \frac{\partial v_i^l}{\partial x_n}. \quad (13)$$

Оценим вклад в интеграл

$$\int \frac{\delta v_i^l}{\nu} dx \sim cV_0 \left( \frac{\rho^p}{\rho^l} \right)^2 \left( 1 - \frac{\rho^l}{\rho^p} \right) \frac{2l^2 U^2}{9\nu^2},$$

что дает оценку изменения числа Рейнольдса за счет вклада коллоидов. Если эта величина равняется экспериментальному значению  $\delta \text{Re}^* > 0$ , то произойдет падение сопротивления такое же, как при кризисе сопротивления. Таким образом, условие падения сопротивления определяют концентрацию  $c$  коллоидов и знак разности  $\rho^p - \rho^l > 0$ . Это условие можно переписать в виде

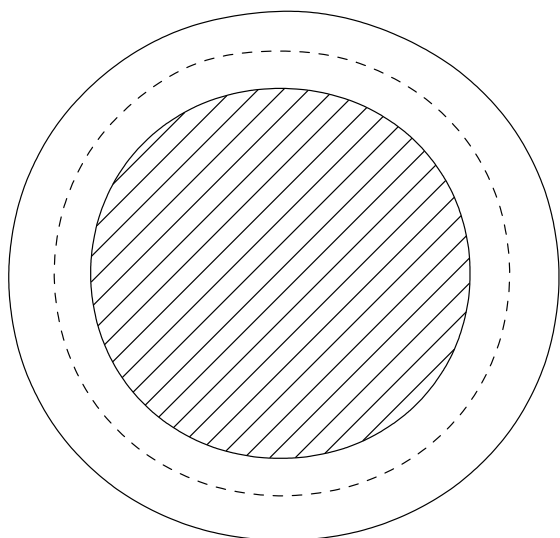
$$\delta \text{Re}^* = cV_0 \left( \frac{\rho^p}{\rho^l} \right)^2 \left( 1 - \frac{\rho^l}{\rho^p} \right) \frac{2l^2}{9L^2} (\text{Re}^*)^2.$$

По предположению  $cV_0 \ll 1$ , поэтому должно выполняться следующее требование к размеру коллоида:

$$\delta \text{Re}^* \frac{L^2}{(\text{Re}^*)^2} \ll l^2.$$

Эти соображения носят качественный характер, и дать реальную количественную оценку довольно трудно.

Можно провести аналогичную оценку для течений в протяженных трубах. Детали турбулентного течения в протяженных трубах при больших числах Рейнольдса менее изучены. Полуфеноменологическая теория Кармана–Прандтля, как показано в [9], состоит в использовании соображений размерности и результатов эксперимента для определения эмпирических констант. Основное утверждение (см. [9]) состоит в существовании в трубе центральной области (рис. 3) со слабой зависимостью средней скорости течения (вдоль трубы) от радиуса и примаыкающего к стенкам вязкого подслоя с линейным уменьшением средней скорости по радиусу вплоть до нуля на стенках. Производная средней скорости



**Рис. 3.** Заштрихована центральная область с большой средней скоростью, слабо зависящей от радиуса. Штрихами показано ее уширение за счет движения коллоидов

по радиусу в вязком подслое велика по сравнению с производной в центральной области.

При наличии коллоидов течение в центральной турбулентной области мало меняется, поскольку средние скорости коллоидов относительно жидкости, согласно формуле (3), малы. Однако в вязком подслое с большой производной средней скорости, коллоиды могут иметь значительные скорости вдоль трубы в переходной области, согласно той же формуле (3), если  $\rho^p > \rho^l$ . Таким образом, центральная область за счет движения коллоидов должна расширяться, как показано на рис. 3, что соответствует падению полного сопротивления трубы. Количественные характеристики трудно получить, так как они связаны с эмпирическим характером констант, входящих в описание центральной области и вязкого подслоя.

Автор выражает благодарность Е. И. Кацу, И. В. Колоколову и В. В. Лебедеву за многочисленные обсуждения. Работа выполнена при финансовой поддержке Министерства образования и науки РФ (Федеральные целевые программы «Кадры» и «Исследования и разработка по приоритетным направлениям развития научно-технического комплекса России на 2007–2013 гг.»).

## ЛИТЕРАТУРА

1. B. A. Toms, in Proc. of the Int. Rheological Congress, Holland (1948), p. 135.
2. I. Procaccia, V. Lvov, and R. Benzi, arXiv:nlin/0702034v1[nlin.CD].
3. Yu. Burnishev and V. Steinberg, Europhys. Lett. **100**, 24001 (2012); DOI:10.1209/0295-5075/100/ /24001.
4. S. M. Fielding, Softmatter **3**, 1262 (2007).
5. R. G. Larson, *Constitutive Equations for Polymer Melts*, Butterworth series in chemical engineering (1988).
6. М. Клеман, О. Д. Лаврентович, *Основы физики частично упорядоченных сред*, Физматлит Москва (2007).
7. М. Дой, С. Эдвардс, *Динамическая теория полимеров*, Мир, Москва (1988).
8. С. В. Иорданский, А. Г. Куликовский, Изв. АН СССР, МЖГ, вып. 4, 12 (1977).
9. Л. Д. Ландау, Е. М. Лифшиц, *Гидродинамика*, Физматлит, Москва (2003).
10. S. Kaplun and P. A. Lagerstrom, J. Math. Phys. **6**, 585 (1957).
11. I. Proudman and J. R. A. Pearson, J. Fluid Mech. **2**, 237 (1957).